

Jacek T. TOPORKIEWICZ

Instytut Podstawowych Problemów  
Elektrotechniki i Energoelektroniki  
Politechniki Śląskiej

## ANALIZA PORÓWNAWCZA WŁASNOŚCI UKŁADÓW: (R) I (RL) PRZY RÓŻNYCH WARIANTACH STEROWANIA IMPULSOWEGO

**Streszczenie.** W pracy porównano własności regulacyjne 4 sposobów impulsowego sterowania napięcia przemiennego oraz własności energetyczne odbiorników: (R) i (RL) sterowanych impulsowo według rozważanych sposobów.

### 1. WPROWADZENIE

Przeprowadzona poniżej analiza porównawcza obejmuje 4 sposoby impulsowego sterowania układów: (R) i (RL) prądu przemiennego; sterowanie fazowo-impulsowe [1, 3, 4, 10], sterowanie impulsowe całookresowe [1, 2, 4], sterowanie impulsowe symetryczne [5, 6, 7] oraz sterowanie impulsowe z dowolnie ustaloną pulsacją impulsowania względem pulsacji napięcia zasilającego [8, 9]. Rozważania dotyczą porównania własności regulacyjnych powyższych sposobów sterowania napięcia przemiennego oraz własności energetycznych odbiorników: (R) i (RL) sterowanych impulsowo według powyższych algorytmów.

W rozważaniach zakłada się idealnie sztywne źródło zasilania napięcia sinusoidalnego o amplitudzie  $U_{\max} \in R$  i pulsacji  $\omega_1$ , gdzie  $\omega_1 = 2\pi/T_1, T_1 \in R$ , wszystkie elementy wykonawcze układu impulsowego sterowania traktuje się jako elementy idealne oraz przyjmuje się liniowe odbiorniki: rezystancyjny (R) i rezystancyjno-indukcyjny (RL).

## 2. PRZEBIEGI NAPIĘĆ WYJŚCIOWYCH UKŁADÓW STEROWANIA

Przebiegi czasowe napięć wyjściowych  $u_2$  dla rozważanych wariantów sterowania impulsowego są postaci (rys. 1):

1° sterowanie fazowo-impulsowe

$$u_2(t) = \begin{cases} U_{\max} \sin(\omega_1 t) & \text{dla } t \in (nT_1 + t_0, nT_1 + t_w) \cup \left(\frac{2n+1}{2} T_1 + t_0, \frac{2n+1}{2} T_1 + t_w\right) \\ 0 & \text{dla } t \in \left(\frac{2n-1}{2} T_1 + t_w, nT_1 + t_0\right) \cup \left(nT_1 + t_w, \frac{2n+1}{2} T_1 + t_0\right) \end{cases}$$

gdzie:  $t_0 \in [t_{ogr}, \frac{T_1}{2}]$  - jest zmienną sterującą,  $t_{ogr} = \frac{\varphi}{\omega_1}$ ,  $\text{tg } \varphi = \frac{\omega_1 L}{R}$ ,

$t_w$  - jest chwilą wyłączenia prądu obciążenia, przy czym

$$t_w = \begin{cases} T_1/2 & \text{dla układu (R)} \\ t_w(t_0, \zeta) & \text{dla układu (RL)} \end{cases}, \quad \zeta = \frac{L}{R}, \quad n \in \mathbb{N} \cup \{0\}.$$

2° sterowanie impulsowe całookresowe

$$u_2(t) = \begin{cases} U_{\max} \sin(\omega_1 t + \varphi) & \text{dla } t \in (nT_1, (n+\delta)T_1) \\ 0 & \text{dla } t \in ((n+\delta)T_1, (n+1)T_1) \end{cases}$$

gdzie:  $\delta = \frac{t_{zał}}{T_1} = \frac{1}{k} \in \left\{0, \frac{1}{k}, \frac{2}{k}, \dots, \frac{k-1}{k}, 1\right\}$  - jest zmienną sterującą,

$k \in \mathbb{N}$  - liczba stopni pracy układu sterowania,  $l \in \{0, 1, 2, \dots, k\}$ ,  
 $n \in \mathbb{N} \cup \{0\}$ .

3<sup>o</sup> sterowanie impulsowe symetryczne

$$u_2(t) = \begin{cases} U_{\max} \sin(\omega_1 t) & \text{dla } t \in (t'_n - t_0, t'_n + t_0) \cup (t''_n - t_0, t''_n + t_0) \\ 0 & \text{dla } t \in (nT_1, t'_n - t_0) \cup (t'_n + t_0, t''_n - t_0) \cup \\ & \cup (t''_n + t_0, (n+1)T_1) \end{cases}$$

gdzie:  $t'_n = \frac{4n+1}{4} T_1$ ,  $t''_n = \frac{4n+3}{4} T_1$ ,  $t_0 \in [0, \frac{T_1}{4}]$  - jest zmienną sterującą,  $n \in \mathbb{N} \cup \{0\}$ .

4<sup>o</sup> sterowanie impulsowe z dowolną pulsacją impulsowania

$$u_2(t) = \begin{cases} U_{\max} \sin(\omega_1 t) & \text{dla } t \in (nT_1, (n+\delta)T_1) \\ 0 & \text{dla } t \in ((n+\delta)T_1, (n+1)T_1) \end{cases} \quad (4)$$

gdzie:  $\delta = \frac{t_{zał}}{T_1} \in [0, 1]$  - jest zmienną sterującą,  $T_1 \in \mathbb{R}$ ,  $T_1/T_1 \in \mathbb{Q}$ ,  $n \in \mathbb{N} \cup \{0\}$ .

We wszystkich przypadkach sterowania impulsowego przebiegi czasowe napięć wyjściowych  $u_2$  są funkcjami okresowymi o okresie  $T$ , przy czym zachodzi:

- dla sterowań: fazowego i symetrycznego:  $T = T_1$ ,
- dla sterowania całookresowego:  $T = T_1 = kT_1$ ,  $k \in \mathbb{N}$ ,
- dla sterowania z dowolną pulsacją impulsowania:  $T = \text{NWW}(T_1, T_1)$ ,

gdzie NWW oznacza najmniejszą wspólną wielokrotność liczb.

Chwila odłączenia napięcia zasilania od obwodu wyjściowego dla sterowania fazowego jest funkcją zmiennej sterującej  $t_0$  i stałej czasowej  $\tau$  obwodu obciążenia  $t_w = t_w(t_0, \tau)$ , natomiast w pozostałych przypadkach sterowania chwila ta zależy wyłącznie od zmiennej sterującej:  $\{t_0, \delta\}$ .

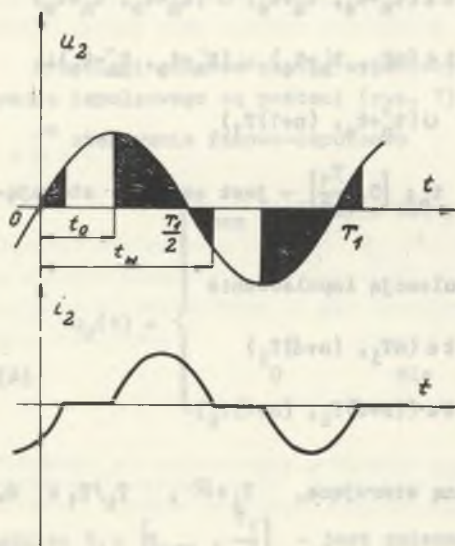
Wartości skuteczne napięć wyjściowych  $U_{2sk}$  dla rozważanych wariantów impulsowego sterowania są postaci (rys. 2):

1<sup>o</sup> sterowanie fazowo-impulsowe

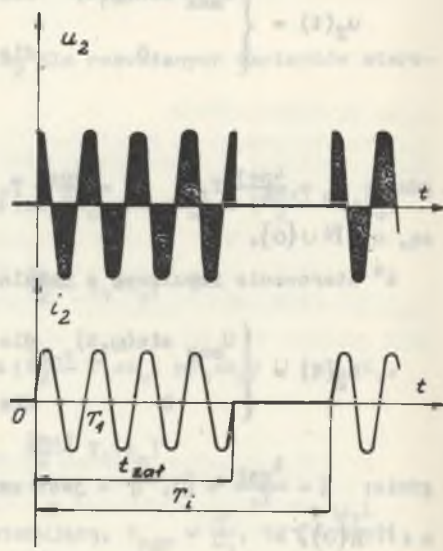
$$U_{2sk} = \frac{U_{\max}}{\sqrt{2\pi}} \sqrt{\omega_1(t_w - t_0) - \frac{\sin(2\omega_1 t_w) - \sin(2\omega_1 t_0)}{2}} \quad (5)$$

$$t_0 \in [t_{ogr}, \frac{T_1}{2}]$$

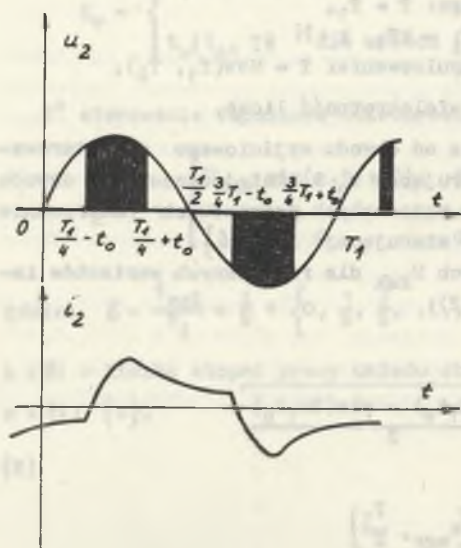
## 1° sterowanie fasowo-impulsowe



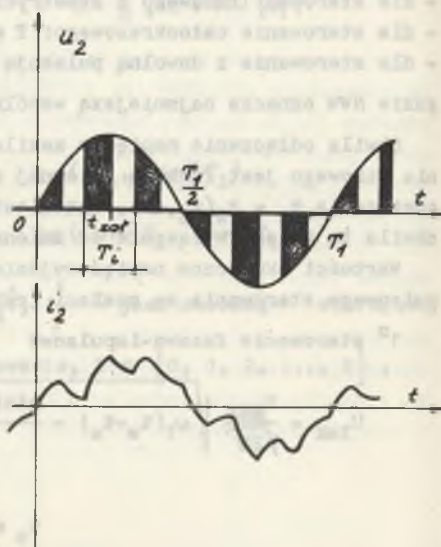
## 2° sterowanie impulsowe całokresowe



## 3° sterowanie impulsowe symetryczne



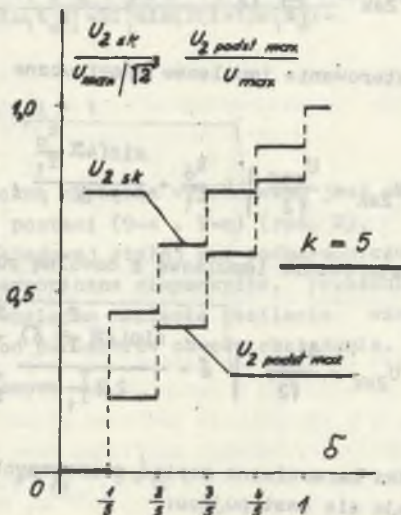
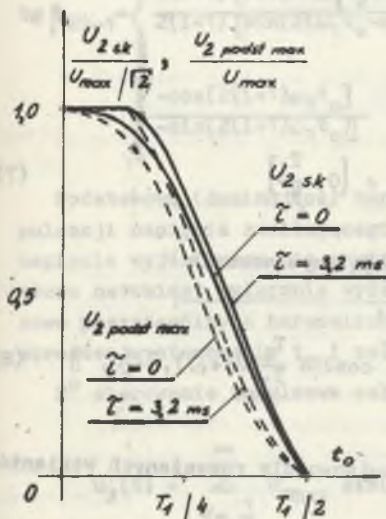
## 4° sterowanie impulsowe z dowolną pulsacją impulsowania



Rys. 1. Przebiegi czasowe napięć wyjściowych układów impulsowych dla różnych wariantów sterowania

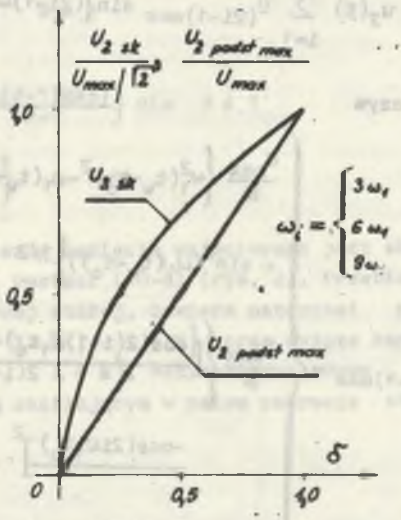
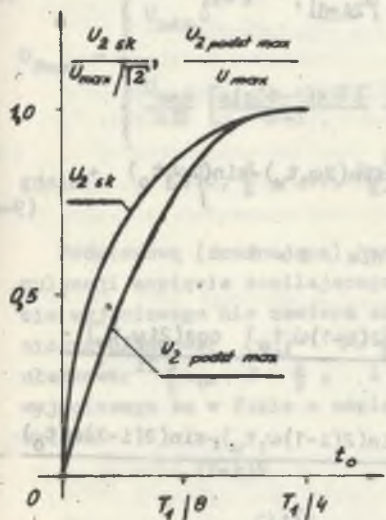
1° sterowanie fazowo-impulsowe

2° sterowanie impulsowe całokątne



3° sterowanie impulsowe symetryczne

4° sterowanie impulsowe z dowolną pulsną impulsownością



Rys. 2. Przebiegi wartości skutecznej oraz amplitudy podstawowej harmonicznej napięć wyjściowych dla różnych wariantów sterowania impulsowego

2<sup>o</sup> sterowanie impulsowe całokresowe

$$U_{2sk} = \frac{U_{\max}}{\sqrt{2}} \sqrt{\delta}, \quad \delta \in \left\{0, \frac{1}{K}, \dots, \frac{K-1}{K}, 1\right\} \quad (6)$$

3<sup>o</sup> sterowanie impulsowe symetryczne

$$U_{2sk} = \frac{U_{\max}}{\sqrt{2}} \sqrt{4 \frac{t_0}{T_1} + \frac{\sin(4\pi \frac{t_0}{T_1})}{\pi}}, \quad t_0 \in \left[0, \frac{T_1}{4}\right] \quad (7)$$

4<sup>o</sup> sterowanie impulsowe z dowolną pulscacją impulsowania

$$U_{2sk} = \frac{U_{\max}}{\sqrt{2}} \sqrt{\delta - \frac{\sin(2\pi \frac{T_1}{T_1} \delta)}{2\pi \frac{T_1}{T_1}} \sum_{i=0}^{T/T_1-1} \cos 2(\pi \frac{T_1}{T_1} (2i+1) \delta)}, \quad \delta \in [0, 1] \quad (8)$$

Widma harmoniczne napięć sterowanych impulsowo dla rozważanych wariantów wyrażają się następująco:

1<sup>o</sup> sterowanie fazowo-impulsowe

$$u_2(t) = \sum_{i=1}^{\infty} U_{(2i-1)\max} \sin[(2i-1)\omega_1 t + \beta_{2i-1}], \quad t \in \mathbb{R} \quad (9)$$

przy czym

$$U_{(2i-1)\max} = \begin{cases} \frac{U_{\max}}{\pi} \left\{ \omega_1^2 (t_w - t_0)^2 - \omega_1 (t_w - t_0) [\sin(2\omega_1 t_w) - \sin(2\omega_1 t_0)] + \right. \\ \left. + \sin^2(\omega_1 (t_w - t_0)) \right\}^{1/2} & \text{dla } i = 1 \\ \frac{U_{\max}}{\pi} \left\{ \left[ \frac{\cos(2(2i-1)\omega_1 t_w) - \cos(2(2i-1)\omega_1 t_0)}{2(2i-1)} - \frac{\cos(2i\omega_1 t_w)}{2i} - \right. \right. \\ \left. \left. \frac{-\cos(2i\omega_1 t_0)}{2i} \right]^2 + \left[ \frac{\sin(2(2i-1)\omega_1 t_w) - \sin(2(2i-1)\omega_1 t_0)}{2(2i-1)} - \right. \right. \\ \left. \left. - \frac{\sin(2i\omega_1 t_w) - \sin(2i\omega_1 t_0)}{2i} \right]^2 \right\}^{1/2} & \text{dla } i > 1 \end{cases} \quad (9-a) \quad (9-b)$$

$$t \in \beta_{2i-1} \begin{cases} \frac{\cos(2\omega_1 t_w) - \cos(2\omega_1 t_o)}{2\omega_1(t_w - t_o) - (\sin(2\omega_1 t_w) - \sin(2\omega_1 t_o))} & \text{dla } i = 1 \\ \frac{2(1+i) [\cos(2i\omega_1 t_w) - \cos(2i\omega_1 t_o)] - 2i [\cos(2(i+1)\omega_1 t_w) - \cos(2(i+1)\omega_1 t_o)]}{2(1+i) [\sin(2i\omega_1 t_w) - \sin(2i\omega_1 t_o)] - 2i [\sin(2(i+1)\omega_1 t_w) - \sin(2(i+1)\omega_1 t_o)]} \\ \frac{-\cos(2(i+1)\omega_1 t_o)}{-\sin(2(i+1)\omega_1 t_o)} & \text{dla } i > 1 \end{cases} \quad (9-c)$$

Podstawą (dominującą) harmoniczną napięcia wyjściowego jest składowa o pulsacji napięcia zasilającego  $\omega_1$  postaci (9-a, 9-c) (rys. 2). Przebieg napięcia wyjściowego nie zawiera składowej stałej ani podharmonicznych, zawiera natomiast wyłącznie wyższe harmoniczne nieparzyste. Przesunięcie fazowe poszczególnych harmonicznym względem napięcia zasilania wzrasta ze wzrostem wysterowania  $t_o$  i zależy od parametrów obwodu obciążenia.

2<sup>o</sup> sterowanie impulsowe całokresowe

$$u_2(t) = \sum_{\vartheta = \frac{1}{k}}^{\infty} U_{\vartheta \max} \sin(\vartheta \omega_1 t + \Psi), \quad t \in \mathbb{R} \quad (10)$$

przy czym

$$U_{\vartheta \max} = \begin{cases} U_{\max} \delta & \text{dla } \vartheta = 1 \\ \frac{U_{\max}}{k\delta} \left[ \frac{\sin(\vartheta-1)k\delta}{\vartheta-1} - \frac{\sin(\vartheta+1)k\delta}{\vartheta+1} \right] & \text{dla } \vartheta \neq 1 \end{cases} \quad (10-a)$$

gdzie:  $\delta \in \left\{ 0, \frac{1}{k}, \dots, \frac{k-1}{k}, 1 \right\}$ .

Podstawą (dominującą) harmoniczną napięcia wyjściowego jest składowa o pulsacji napięcia zasilającego  $\omega_1$  postaci (10-a) (rys. 2). Przebieg napięcia wyjściowego nie zawiera składowej stałej, zawiera natomiast podharmoniczne ułamkowe:  $\left\{ u_{\vartheta}, \vartheta = \frac{1}{k}, 1 \in \mathbb{N}, 1 < k \right\}$  oraz wyższe harmoniczne ułamkowe:  $\left\{ u_{\vartheta}, \vartheta = \frac{1}{k}, 1 \in \mathbb{N}, 1 > k \right\}$ . Wszystkie składowe napięcia wyjściowego są w fazie z napięciem zasilającym w całym zakresie sterowania układu.

3<sup>o</sup> sterowanie impulsowe symetryczne

$$u_2(t) = \sum_{i=1}^{\infty} U_{(2i-1)\max} \sin((2i-1)\omega_1 t), \quad t \in R \quad (11)$$

przy czym

$$U_{(2i-1)\max} = \begin{cases} U_{\max} \left[ 4 \frac{t_0}{T_1} + \frac{\sin(4\pi \frac{t_0}{T_1})}{\pi} \right] & \text{dla } i = 1 \\ \frac{U_{\max}}{\pi} (-1)^i \left[ \frac{\sin(4\pi i \frac{t_0}{T_1})}{i} + \frac{\sin(4\pi(1-i) \frac{t_0}{T_1})}{1-i} \right] & \text{dla } i > 1 \end{cases} \quad (11-a)$$

$$\frac{U_{\max}}{\pi} (-1)^i \left[ \frac{\sin(4\pi i \frac{t_0}{T_1})}{i} + \frac{\sin(4\pi(1-i) \frac{t_0}{T_1})}{1-i} \right] \quad (11-b)$$

$$\text{dla } i > 1 \quad (11-c)$$

gdzie:  $t_0 \in \left[ 0, \frac{T_1}{4} \right]$ .

Podstawą (dominującą) harmoniczną napięcia wyjściowego jest składowa o pulsacji napięcia zasilającego  $\omega_1$  postaci (11-a) (rys. 2). Przebieg napięcia wyjściowego nie zawiera składowej stałej ani podharmonicznych, zawiera natomiast wyłącznie wyższe harmoniczne nieparzyste. Wszystkie składowe napięcia wyjściowego są w fazie z napięciem zasilającym w całym zakresie sterowania układu.

4<sup>o</sup> sterowanie impulsowe z dowolną pulsacją impulsowania

$$u_2(t) = U_{\max} \left\{ \delta \sin(\omega_1 t) + \frac{1}{\pi} \sum_{i=1}^{\infty} \frac{\sin(n\delta)}{i} \left[ \sin((\omega_1 + i\omega_1)t - n\delta) + \sin((\omega_1 - i\omega_1)t + n\delta) \right] \right\} \quad (12)$$

gdzie:  $\delta \in [0, 1]$ .

Podstawą (dominującą) harmoniczną napięcia wyjściowego jest składowa o pulsacji napięcia zasilającego  $\omega_1$  postaci (rys. 2):

$$U_2 \text{ podst max} = \begin{cases} U_{\max} \delta & \text{dla } \omega_1 \in \left\{ \frac{2\omega_1}{n}, n \in \mathbb{N} \right\} \\ U_{\max} \sqrt{\delta^2 + \left[ \frac{\sin(n\delta)}{n\delta} \right]^2 - 2\delta \frac{\sin(n\delta)}{n\delta} \cos(n\delta)} & \text{dla } \omega_1 \in \left\{ \frac{2\omega_1}{n}, n \in \mathbb{N} \right\} \end{cases} \quad (12-a)$$



$$\operatorname{tg} \beta_2 \text{ podst} = \begin{cases} 0 & \text{dla } \omega_1 \notin \left\{ \frac{2\omega_1}{n}, n \in \mathbb{N} \right\} \\ -\frac{\sin^2(n\pi\delta)}{n\pi\delta - \sin(n\pi\delta) \cos(n\pi\delta)} & \text{dla } \omega_1 \in \left\{ \frac{2\omega_1}{n}, n \in \mathbb{N} \right\} \end{cases} \quad (12-b)$$

Przebieg napięcia wyjściowego nie zawiera składowej stałej dla pulsacji impulsowania  $\{\omega_1 : \omega_1 \notin \left\{ \frac{\omega_1}{n}, n \in \mathbb{N} \right\}\}$  oraz podharmonicznych względem podstawowej harmonicznej napięcia dla pulsacji impulsowania

$$\left\{ \omega_1 : \omega_1 \in \{\omega_1\} \cup \{\omega_1 : \omega_1 > 2\omega_1\} \right\}.$$

Przesunięcie fazowe poszczególnych harmonicznych względem napięcia zasilającego zależy od poziomu wysterowania  $\delta$  układu oraz od pulsacji impulsowania  $\omega_1$  względem pulsacji  $\omega_1$ .

Zmieniając zmienną sterującą  $\{t_0, \delta\}$  w całym przedziale zmienności steruje się wartością skuteczną napięcia wyjściowego w zakresie  $[0, U_{\max}/\sqrt{2}]$ , przy czym jest ona nieliniową funkcją zmiennej sterującej (5) - (8) dla wszystkich wariantów sterowania oraz amplitudą podstawowej harmonicznej napięcia wyjściowego w zakresie  $[0, U_{\max}]$ , przy czym jedynie dla  $2^\circ$  oraz  $4^\circ$

(dla  $\omega_1 \notin \left\{ \frac{2\omega_1}{n}, n \in \mathbb{N} \right\}$ ) wariantu sterowania jest ona liniową funkcją zmiennej sterującej i nie zależy od częstotliwości pracy układu. Faza początkowa podstawowej harmonicznej napięcia wyjściowego dla wariantów sterowania:  $2^\circ - 4^\circ$

(dla  $\omega_1 \in \left\{ \frac{2\omega_1}{n}, n \in \mathbb{N} \right\}$ ) jest równa zeru w całym zakresie sterowania i nie zależy od parametrów pracy układu. Warianty sterowania:  $1^\circ, 3^\circ$  i  $4^\circ$  zapewniają regulację napięcia wyjściowego w sposób ciągły, natomiast wariant  $2^\circ$  zapewnia sterowanie stopniowe napięcia przemiennego.

Przedstawione warianty impulsowego sterowania  $1^\circ - 4^\circ$  napięcia przemiennego wykazują podobne odkształcenie przebiegów napięć wyjściowych w całym zakresie sterowania dla ustalonych wartości amplitudy ich podstawowej harmonicznej.

### 3. PRZEBIEGI PRĄDÓW: OBCIĄŻENIA I ŹRÓDŁA ZASILANIA STEROWANYCH UKŁADÓW

Dla układów z odbiornikami rezystancyjnymi (R) prąd obciążenia  $i_2$ , a tym samym prąd źródła zasilającego  $i_1$ , jest proporcjonalny do odpowiadających mu przebiegów napięć wyjściowych  $u_2$  impulsowych układów sterowania (por. (1) - (4)).

Dla układów z odbiornikami rezystancyjno-indukcyjnymi (RL) przebiegi czasowe prądów, obciążenia  $i_2$  oraz źródła zasilającego  $i_1$  w stanie ustalonym dla rozważanych wariantów sterowania są postaci (rys. 1):

1° sterowanie fazowo-impulsowe

$$i_1(t) = i_2(t) = \begin{cases} I_{\max} [\sin(\omega_1 t - \varphi) - e^{-\frac{t-t_0}{\tau}} \sin(\omega_1 t_0 - \varphi)] & \text{dla } t \in (t_0, t_w] \\ -i_2(t_0, t_w] & \text{dla } t \in (\frac{T_1}{2} + t_0, \frac{T_1}{2} + t_w] \\ 0 & \text{dla } t \in (t_w, \frac{T_1}{2} + t_0] \cup (\frac{T_1}{2} + t_w, T_1 + t_0] \end{cases} \quad (13)$$

przy czym chwilę wyłączenia  $t_w$  prądu obciążenia określa relacja:

$$\sin(\omega_1 t_w - \varphi) - e^{-\frac{t_w - t_0}{\tau}} \cdot \sin(\omega_1 t_0 - \varphi) = 0, \quad (13-a)$$

gdzie  $t_0 \in [t_{\text{ogr}}, T_1/2]$ .

2° sterowanie impulsowe całookresowe

$$i_1(t) = i_2(t) = \begin{cases} I_{\max} \sin(\omega_1 t) & \text{dla } t \in (nT_1, (n+\delta)T_1] \\ 0 & \text{dla } t \in ((n+\delta)T_1, (n+1)T_1] \end{cases} \quad (14)$$

gdzie  $\delta \in \{0, \frac{1}{K}, \dots, \frac{K-1}{K}, 1\}$ .

3° sterowanie impulsowe symetryczne

$$i_2(t) = \begin{cases} I_{\max} \sin(\omega_1 t - \varphi) + [i_2(\frac{T_1}{4} - t_0) - I_{\max} \cos(\omega_1 t_0 + \varphi)] e^{-\frac{t - (\frac{T_1}{4} - t_0)}{\tau}} & \text{dla } t \in (\frac{T_1}{4} - t_0, \frac{T_1}{4} + t_0] \\ i_2(\frac{T_1}{4} + t_0) e^{-\frac{t - (\frac{T_1}{4} + t_0)}{\tau}} & \text{dla } t \in (\frac{T_1}{4} + t_0, \frac{3}{4} T_1 - t_0] \\ -i_2(\frac{T_1}{4} - t_0, \frac{T_1}{4} + t_0] & \text{dla } t \in (\frac{3}{4} T_1 - t_0, \frac{3}{4} T_1 + t_0] \\ -i_2(\frac{T_1}{4} + t_0, \frac{3}{4} T_1 - t_0] & \text{dla } t \in (\frac{3}{4} T_1 + t_0, \frac{5}{4} T_1 - t_0] \end{cases} \quad (15)$$

oraz

$$i_1(t) = \begin{cases} i_2\left(\frac{T_1}{4} - t_0, \frac{T_1}{4} + t_0\right) & \text{dla } t \in \left(\frac{T_1}{4} - t_0, \frac{T_1}{4} + t_0\right) \\ 0 & \text{dla } t \in \left(\frac{T_1}{4} + t_0, \frac{3}{4}T_1 - t_0\right) \cup \left(\frac{3}{4}T_1 + t_0, \frac{5}{4}T_1 - t_0\right) \\ -i_2\left(\frac{T_1}{4} - t_0, \frac{T_1}{4} + t_0\right) & \text{dla } t \in \left(\frac{3}{4}T_1 - t_0, \frac{3}{4}T_1 + t_0\right) \end{cases}$$

przy czym

$$i_2\left(\frac{T_1}{4} - t_0\right) = I_{\max} \frac{\cos(\omega_1 t_0 + \varphi) - e^{-\frac{2t_0}{T_1}} \cos(\omega_1 t_0 - \varphi)}{1 + e^{-\frac{2t_0}{T_1}}} \quad (16)$$

gdzie  $t_0 \in \left[0, \frac{T_1}{4}\right]$

4<sup>o</sup> sterowanie impulsowe z dowolną pulsacją impulsowania

$$i_2(t) = \begin{cases} I_{\max} \left[ \sin(\omega_1 t - \varphi) + M_1(\delta, T_1, \varepsilon) e^{-\frac{t - 1T_1}{\varepsilon}} \right] & \text{dla } t \in (1T_1, (1+\delta)T_1] \\ I_{\max} N_1(\delta, T_1, \varepsilon) e^{-\frac{t - (1+\delta)T_1}{\varepsilon}} & \text{dla } t \in ((1+\delta)T_1, (1+1)T_1] \end{cases} \quad (17)$$

oraz

$$i_1(t) = \begin{cases} i_2(1T_1, (1+\delta)T_1) & \text{dla } t \in (1T_1, (1+\delta)T_1) \\ 0 & \text{dla } t \in ((1+\delta)T_1, (1+1)T_1) \end{cases} \quad (18)$$

przy czym

$$M_1(\delta, T_1, \varepsilon) = \frac{1}{1 - e^{-\frac{T_1}{\varepsilon}}} \sum_{i=0}^{\frac{T_1}{\varepsilon} - 1} \left[ \sin\left(2\pi \frac{T_1}{T_1} (1+i+\delta) - \varphi\right) e^{-\frac{\delta T_1}{\varepsilon}} - \sin\left(2\pi \frac{T_1}{T_1} (1+i) - \varphi\right) e^{-\frac{T_1 - T_1}{\varepsilon}} - \sin\left(2\pi \frac{T_1}{T_1} 1 - \varphi\right) \right]$$

$$N_1(\delta, T_1, \tilde{\epsilon}) = \sin(2\pi \frac{T_1}{T_1}(1+\delta) - \varphi) + M_1(\delta, T_1, \tilde{\epsilon}) e^{-\frac{\delta T_1}{T}}$$

gdzie:

$$I_{\max} = \frac{U_{\max}}{\sqrt{R^2 + (\omega_1 L)^2}}, \quad 1 \in \left\{0, 1, \dots, \frac{T_1}{T_1} - 1\right\}, \quad \delta \in [0, 1]$$

Przesunięcie fazowe  $\varphi_{1,2}$  podst. podstawowej harmonicznej prądów: obciążenia  $i_2$  oraz źródła zasilania  $i_1$  względem napięcia zasilającego  $u_1$  dla rozważanych wariantów sterowania, wynosi:

1° sterowanie fazowo-impulsowe

$$\varphi_{1,2} \text{ podst} = \begin{cases} \arctan \left[ \frac{1 - \cos(2\omega_1 t_0)}{T_1 - 2\omega_1 t_0 + \sin(2\omega_1 t_0)} \right] & \text{dla układu obciążenia (R)} \\ \varphi + \arctan \left[ \frac{\cos(2\omega_1 t_w) - \cos(2\omega_1 t_0)}{2\omega_1(t_w - t_0) - (\sin(2\omega_1 t_w) - \sin(2\omega_1 t_0))} \right] & \text{dla układu obciążenia (RL)} \\ & \text{w stanie ustalonym} \end{cases} \quad (19)$$

$$\text{dla } t_0 \in \left[ t_{\text{ogr}}, \frac{T_1}{2} \right).$$

2° sterowanie impulsowe całookresowe

$$\varphi_{1,2} \text{ podst} = \begin{cases} 0 & \text{dla układu obciążenia (R)} \\ \varphi & \text{dla układu obciążenia (RL) w stanie ustalonym} \end{cases}$$

$$\text{dla } \delta \in \left\{ \frac{1}{k}, \frac{2}{k}, \dots, \frac{k-1}{k}, 1 \right\}. \quad (20)$$

3° sterowanie impulsowe symetryczne

$$\varphi_{1,2} \text{ podst} = \begin{cases} 0 & \text{dla układu obciążenia (R)} \\ \varphi & \text{dla układu obciążenia (RL) w stanie ustalonym} \end{cases}$$

$$\text{dla } t_0 \in \left( 0, \frac{T_1}{4} \right] \quad (21)$$

4<sup>o</sup> sterowanie impulsowe z dowolną pulsacją impulsowania

$$\psi_{1,2} \text{ podst} = \begin{cases} \left\{ \begin{array}{l} 0 \\ \delta(\delta, T_1) \end{array} \right. & \begin{array}{l} \text{dla } \omega_1 \notin \left\{ \frac{2\omega_1}{n}, n \in N \right\} \\ \text{dla } \omega_1 \in \left\{ \frac{2\omega_1}{n}, n \in N \right\} \end{array} \\ & \text{dla układu obciążenia (R)} \\ \left\{ \begin{array}{l} \varphi \\ \varphi + \delta(\delta, T_1) \end{array} \right. & \begin{array}{l} \text{dla } \omega_1 \notin \left\{ \frac{2\omega_1}{n}, n \in N \right\} \\ \text{dla } \omega_1 \in \left\{ \frac{2\omega_1}{n}, n \in N \right\} \end{array} \end{cases} \quad (22)$$

dla układu obciążenia (RL) w stanie ustalonym

przy czym

$$\operatorname{tg} \delta(\delta, T_1) = - \frac{\sin(2\pi \frac{T_1}{T_1} \delta) \sum_{l=0}^{T_1 - 1} \sin(2\pi \frac{T_1}{T_1} (2l + \delta))}{\delta - \frac{\sin(2\pi \frac{T_1}{T_1} \delta)}{2\pi \frac{T_1}{T_1}} \sum_{l=0}^{T_1 - 1} \cos(2\pi \frac{T_1}{T_1} (2l + \delta))}$$

dla  $\delta \in (0, 1]$

4. MOC UKŁADÓW OBCIĄŻENIA: (R) I (RL) STEROWANYCH IMPULSOWO

Wartości mocy czynnej  $P_2$  odbiorników: (R) i (RL) dla rozważanych wariantów impulsowego sterowania są postaci (rys. 3):

1<sup>o</sup> sterowanie fazowo-impulsowe

$$P_2 = \begin{cases} \frac{U_{\max} I_{\max}}{2} \left[ 1 - 2 \frac{t_0}{T_1} + \frac{\sin(2\omega_1 t_0)}{2\pi} \right] & \text{dla układu obciążenia (R)} \\ \frac{U_{\max} I_{\max}}{2} \left\{ 2 \frac{t_0 - t_0}{T_1} - \frac{\sin 2(\omega_1 t_0 - \varphi) - \sin 2(\omega_1 t_0 - \varphi)}{2\pi} \cdot \frac{\frac{1}{2} \omega_1^2}{1 + (\omega_1 T_1)^2} \right\} & \end{cases}$$

$$\left. \begin{aligned}
 & \cdot \sin(\omega_1 t_0 - \varphi) \left[ \sin(\omega_1 t_0 - \varphi) + \omega_1 \tilde{\nu} \cos(\omega_1 t_0 - \varphi) - (\sin(\omega_1 t_w - \varphi) + \right. \\
 & \left. + \omega_1 \tilde{\nu} \cos(\omega_1 t_w - \varphi)) e^{-\frac{t_w - t_0}{\tau}} \right] + \frac{2\tilde{\nu} \sin^2(\omega_1 t_0 - \varphi)}{T_1} \left( 1 - e^{-\frac{2(t_w - t_0)}{\tau}} \right) \Big\} \\
 & \cdot \cos \varphi
 \end{aligned} \right\} \text{ dla układu obciążenia (RL) w stanie ustalonym}$$

gdzie  $t_0 \in [t_{ogr}, \frac{T_1}{2}]$ . (23)

2° sterowanie impulsowe całokresowe

$$P_2 = \begin{cases} \frac{U_{\max} I_{\max}}{2} \delta & \text{dla układu obciążenia (R)} \\ \frac{U_{\max} I_{\max}}{2} \delta \cos \varphi & \text{dla układu obciążenia (RL) w stanie ustalonym} \end{cases}$$

gdzie  $\delta \in \{0, \frac{1}{k}, \dots, \frac{k-1}{k}, 1\}$ . (24)

3° sterowanie impulsowe symetryczne

$$P_2 = \begin{cases} \frac{U_{\max} I_{\max}}{2} \left[ 4 \frac{t_0}{T_1} - \frac{\sin(2\omega_1 t_0)}{\pi} \right] & \text{dla układu obciążenia (R)} \\ \frac{U_{\max} I_{\max}}{2} \left\{ 4 \frac{t_0}{T_1} + \frac{\sin(2\omega_1 t_0)}{\pi} \cos \varphi + A(t_0, \tilde{\nu}) \left[ (1 - e^{-\frac{2t_0}{\tau}}) \cos(\omega_1 t_0) + \right. \right. \\ \left. \left. + \omega_1 \tilde{\nu} (1 + e^{-\frac{2t_0}{\tau}}) \sin(\omega_1 t_0) \right] \right\} & \text{dla układu obciążenia (RL) w stanie ustalonym} \end{cases}$$

$$\text{przy czym } A(t_0, \tilde{\nu}) = 4 \frac{\tilde{\nu}}{T_1} \cdot \frac{\frac{1}{2} \left( \frac{T_1}{4} - t_0 \right) - \cos(\omega_1 t_0 + \varphi)}{1 + (\omega_1 \tilde{\nu})^2} \quad (25)$$

gdzie  $t_0 \in [0, \frac{T_1}{4}]$ .

4<sup>o</sup> sterowanie impulsowe z dowolną pulsacją impulsowania

$$P_2 = \begin{cases} \frac{U_{\max} I_{\max}}{2} \left[ \delta - \frac{\sin(2\pi \frac{T_1}{T_1} \delta)}{2\pi \frac{T_1}{T_1}} \sum_{l=0}^{\frac{T_1}{T_1} - 1} \cos 2(\pi \frac{T_1}{T_1} (2l + \delta)) \right] & \text{dla układu obciążenia (R)} \\ \frac{U_{\max} I_{\max}}{2} \left\{ \delta \cos \varphi - \frac{\sin(2\pi \frac{T_1}{T_1} \delta)}{2\pi \frac{T_1}{T_1}} \sum_{l=0}^{\frac{T_1}{T_1} - 1} \cos(2\pi \frac{T_1}{T_1} (2l + \delta) - \varphi) - \frac{2\tau e^{-\frac{\delta T_1}{\tau}}}{T(1 + \omega_1^2 \tau^2)} \right. \\ \left. \sum_{l=0}^{\frac{T_1}{T_1} - 1} M_1(\delta, T_1, \tau) \left[ \sin(2\pi \frac{T_1}{T_1} (1 + \delta)) + \omega_1 \tau \cos(2\pi \frac{T_1}{T_1} (1 + \delta)) \right] + \right. \\ \left. + \frac{2\tau}{T(1 + \omega_1^2 \tau^2)} \sum_{l=0}^{\frac{T_1}{T_1} - 1} M_1(\delta, T_1, \tau) \cdot \right. \\ \left. \cdot \left[ \sin(2\pi \frac{T_1}{T_1} l) + \omega_1 \tau \cos(2\pi \frac{T_1}{T_1} l) \right] \right\} & \text{dla układu obciążenia (RL)} \\ & \text{w stanie ustalonym} \end{cases} \quad (26)$$

gdzie  $\delta \in [0, 1]$ .

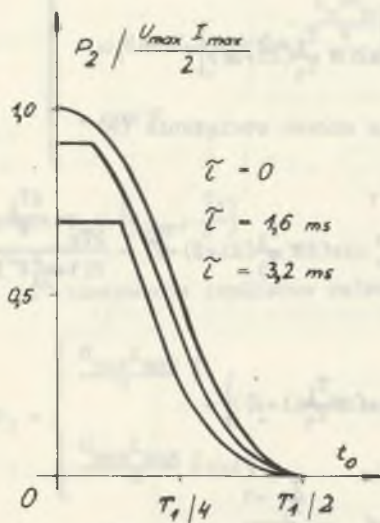
Zmieniając wielkość sterującą  $\{t_o, \delta\}$  w całym przedziale jej zmienności steruje się mocą czynną odbiorników w zakresie:

$$\left[ 0, \frac{U_{\max} I_{\max}}{2} \right] \quad \text{dla układu obciążenia (R)}$$

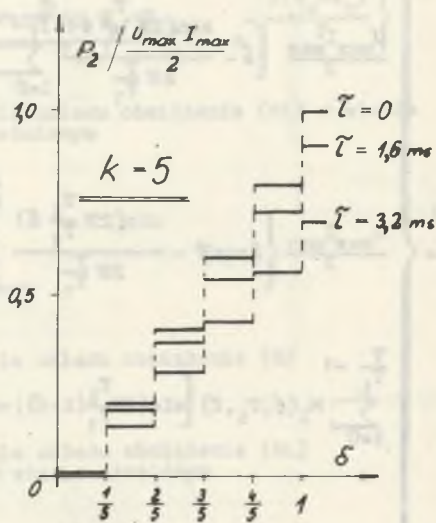
$$\left[ 0, \frac{U_{\max} I_{\max}}{2} \cos \varphi \right] \quad \text{dla układu obciążenia (RL) w stanie ustalonym,}$$

przy czym jest ona ogólnie nieliniową funkcją poziomu wysterowania rozważanych układów. Jedynie dla 2<sup>o</sup> oraz 4<sup>o</sup> (dla  $\{\omega_1: \omega_1 > 2\omega_1\}$ ) wariantu sterowania impulsowego układu obciążenia (R) moc czynna jest liniową funkcją względnego czasu załączenia  $\delta$  napięcia zasilającego do odbiornika i nie zależy od pulsacji impulsowania  $\omega_1$  względem pulsacji napięcia zasilania  $\omega_1$  i jego fazy początkowej.

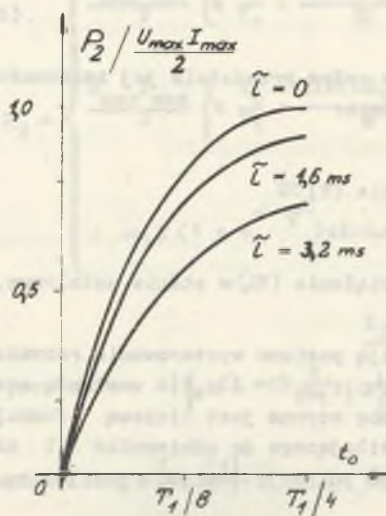
1° sterowanie fazowo-impulsowe



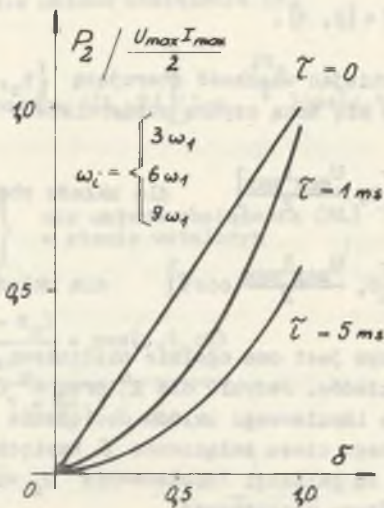
2° sterowanie impulsowe odcinkowe



3° sterowanie impulsowe symetryczne



4° sterowanie impulsowe z dowolną pulsacją impulsowania



Rys. 3. Przebiegi mocy czynnej układów: (R) i (RL) dla różnych wariantów sterowania impulsowego



Wraz ze zmniejszaniem poziomu wysterowania  $\{t_0, \delta\}$  maleje udział mocy czynnej dla podstawowych harmonicznych napięć i prądów, związany z wzrastającym odkształceniem przebiegów napięć i prądów wyjściowych sterowanych obiektów. Udział ten wzrasta wraz ze wzrostem indukcyjności obwodu obciążenia. Dla 4<sup>o</sup> wariantu impulsowego sterowania udział mocy czynnej dla podstawowych harmonicznych napięć i prądów wzrasta ponadto ze wzrostem pulsacji impulsowania  $\omega_1$  względem pulsacji napięcia zasilającego  $\omega_1$ , uzyskując wyższe wartości w porównaniu z innymi wariantami impulsowego sterowania układów prądu zmiennego.

Wartości mocy biernej  $Q_1(Q_1 \stackrel{def}{=} \frac{1}{T} \int [u_1 \cdot H(i_1)](t) dt$ , gdzie  $H(i)$  oznacza transformatę Hilberta funkcji prądu) w punkcie zasilania układów: (R) i (RL) dla rozważanych wariantów sterowania określają relacje (rys. 4):

$$Q_1 = \begin{cases} \frac{U_{\max} I_{\max}}{2} \cdot \frac{\sin^2(\omega_1 t_0)}{\omega_1} & \text{dla układu obciążenia (R)} \\ \frac{U_{\max} I_{\max}}{2} \left\{ 2 \frac{t_w - t_0}{T_1} \sin \varphi + \frac{\cos(2\omega_1 t_w - \varphi) - \cos(2\omega_1 t_0 - \varphi)}{2\omega_1} + \frac{\omega_1^2}{\omega_1(1 + \omega_1^2 T_1^2)} \right. \\ \quad \cdot [\sin(2\omega_1 t_0 - \varphi) - \sin \varphi + \omega_1 T_1 (\cos(2\omega_1 t_0 - \varphi) - \cos \varphi) + \\ \quad + [\sin(\omega_1(t_w - t_0) + \varphi) - \sin(\omega_1(t_w + t_0) - \varphi) + \omega_1 T_1 (\cos(\omega_1(t_w - t_0) + \varphi) - \\ \quad \left. - \cos(\omega_1(t_w + t_0) - \varphi))] \cdot e^{-\frac{t_w + t_0}{T_1}} \right\} & \text{dla układu obciążenia (RL)} \\ & \text{w stanie ustalonym} \end{cases}$$

gdzie:  $t_0 \in [t_{ogr}, \frac{T_1}{2}]$ . (27)

2<sup>o</sup> sterowanie impulsowe całokresowe

$$Q_1 = \begin{cases} 0 & \text{dla układu obciążenia (R)} \\ \frac{U_{\max} I_{\max}}{2} \delta \cos \varphi & \text{dla układu obciążenia (RL)} \\ & \text{w stanie ustalonym} \end{cases}$$

gdzie:  $\delta \in \{0, \frac{1}{k}, \dots, \frac{k-1}{k}, 1\}$  (28)

- Dla kąta załączania tyrystora  $\alpha_2 = 180^\circ$  prąd obciążenia w stanie ustalonym jest prądem biegu jałowego regulatora i jest określony równaniem:

$$i(t) = I_{m2} \sin(\omega t - \varphi_2)$$

gdzie:

$$I_{m2} = \frac{U_m}{\sqrt{(R_o + R_r)^2 + \omega^2(L_o + L_r + L_l)^2}}$$

$$\varphi_2 = \arctg \frac{\omega(L_o + L_r + L_l)}{R_o + R_r}$$

- Użyteczna wartość kąta  $\alpha_2$  wyzwalaenia tyrystora przy obciążeniu rezystancyjnym zawiera się w przedziale od zera do  $180^\circ$ . Wraz ze wzrostem indukcyjności obciążenia przedział ten zmniejsza się.
- Kąt  $\alpha_{z1}$  wejścia rdzenia w nasycenie jest większy od kąta  $\alpha_2 + \alpha$ . Z przeprowadzonych obliczeń wynika, że różnica ta nie przekracza  $13^\circ$  i zależy głównie od wielkości  $\alpha_2$  i rodzaju obciążenia.
- Wielkość indukcyjności głównej transformatora ma wpływ głównie na wartość prądu biegu jałowego regulatora. Jej zmniejszenie powoduje wzrost prądu biegu jałowego, poza tym zmniejszenie kąta  $\alpha_{w1}$ , zwiększenie wartości kąta  $\alpha_{z1}$ .
- Impedancja wzdluzna regulatora ma niewielki wpływ na kształt obliczanych przebiegów prądu, dlatego też w niektórych przypadkach można ją pominąć, co znacznie upraszcza obliczenia. Praca regulatora tyrystorowo-magnetycznego o małym prądzie biegu jałowego i małej impedancji wzdluznej jest zbliżona do pracy tyrystorowego regulatora napięcia przemiennego.

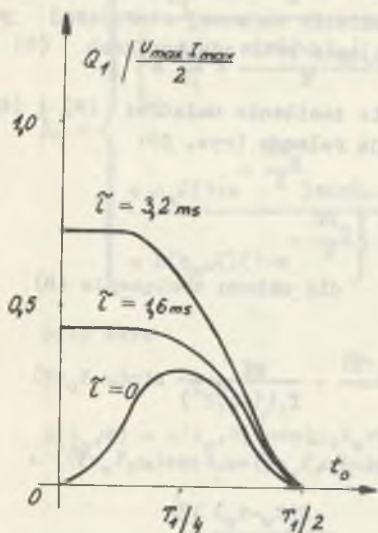
#### LITERATURA

- [1] Kuczewski Z., Rodacki T.: Układ tyrystorowo-magnetycznego sterowania napięcia. Patent PRL 78019.
- [2] Rodecki T., Duda A.: Tyrystorowo-magnetyczny regulator napięcia. Zeszyty Naukowe Politechniki Śl. Elektryka z. 75, 1981 r.
- [3] Rodacki T.: Tyrystorowo-magnetyczne regulatory napięcia i ich zastosowanie. Glińce, marzec 1983 r. (opracowanie niepublikowane).
- [4] Rozenblat M.A.: Magnitnyje elementy awtomatiki i wyczislitelnoj techniki. Nauka, Moskwa 1974 r.

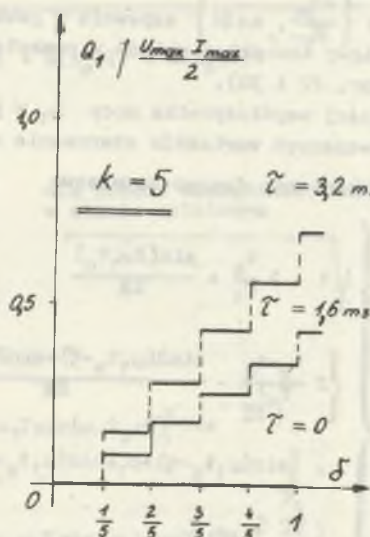
Rencenzent: doc. dr inż. Józef Dancewicz

Wpłynęło do redakcji dn. 15 kwietnia 1984 r.

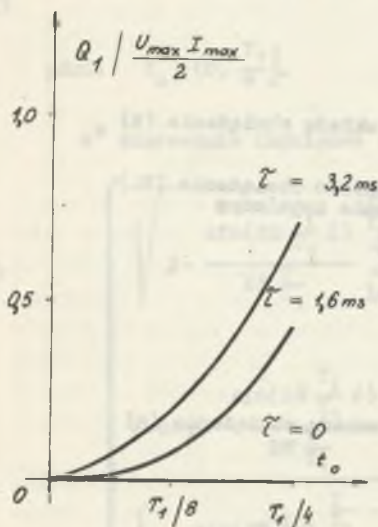
1° sterowanie fazowo-impulsowe



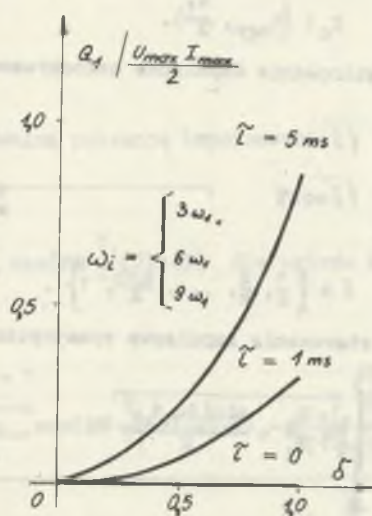
2° sterowanie impulsowe całokresowe



3° sterowanie impulsowe symetryczne



4° sterowanie impulsowe z dowolną pulsacją impulsowania



Rys. 4. Przebiegi mocy biernej w punkcie zasilania układów: (R) i (RL) dla różnych wariantów sterowania impulsowego

Dla wariantów sterowania: 2<sup>o</sup>, 3<sup>o</sup> i 4<sup>o</sup> (dla  $\omega_1 \in \left\{ \frac{2\omega_1}{n}, n \in \mathbb{N} \right\}$ , względny udział mocy biernej w punkcie zasilania jest stały niezależnie od poziomuysterowania układów (por. 20-22). Ponadto 4<sup>o</sup> sposób impulsowego sterowania dla  $\omega_1 \in \left\{ \frac{2\omega_1}{n}, n \in \mathbb{N} \right\}$  zapewnia w pewnym zakresie zmiennej sterującej pojemnościowy charakter układu w punkcie zasilania przy odbiornikach (R) i (RL) (por. 22 i 30).

Wartości współczynnika mocy  $\lambda_1$  w punkcie zasilania układów: (R) i (RL) dla rozważanych wariantów sterowania opisują relacje (rys. 5):

1<sup>o</sup> sterowanie fazowo-impulsowe

$$\lambda_1 = \begin{cases} \sqrt{1 - 2 \frac{t_0}{T_1} + \frac{\sin(2\omega_1 t_0)}{2\beta}} & \text{dla układu obciążenia (R)} \\ \left\{ 2 \frac{t_w - t_0}{T_1} - \frac{\sin 2(\omega_1 t_w - \varphi) - \sin 2(\omega_1 t_0 - \varphi)}{2\beta} - \frac{8\beta}{T_1(1 + \omega_1^2 \tau^2)} \sin(\omega_1 t_0 - \varphi) \right. \\ \cdot [\sin(\omega_1 t_0 - \varphi) + \omega_1 \tau \cos(\omega_1 t_0 - \varphi) - (\sin(\omega_1 t_w - \varphi) + \omega_1 \tau \cos(\omega_1 t_w - \varphi))] \cdot \\ \left. \cdot e^{-\frac{t_w - t_0}{\tau}} \right\} + 2 \frac{\beta}{T_1} \sin^2(\omega_1 t_0 - \varphi) \left( 1 - e^{-\frac{2(t_w - t_0)}{\tau}} \right)^{\frac{1}{2}} \cos \varphi & \text{dla układu obciążenia (RL)} \\ & \text{w stanie ustalonym} \end{cases}$$

gdzie:  $t_0 \in \left[ t_{ogr}, \frac{T_1}{2} \right)$ . (31)

2<sup>o</sup> sterowanie impulsowe całookresowe

$$\lambda_1 = \begin{cases} \sqrt{\delta} & \text{dla układu obciążenia (R)} \\ \sqrt{\delta \cos \varphi} & \text{dla układu obciążenia (RL)} \\ & \text{w stanie ustalonym} \end{cases}$$

gdzie:  $\delta \in \left\{ \frac{1}{k}, \frac{2}{k}, \dots, \frac{k-1}{k}, 1 \right\}$ . (32)

3<sup>o</sup> sterowanie impulsowe symetryczne

$$\sqrt{4 \frac{t_0}{T_1} + \frac{\sin(2\omega_1 t_0)}{\beta}} \quad \text{dla układu obciążenia (R)}$$

$$\lambda_1 = \left\{ \begin{array}{l} \frac{(4 \frac{t_0}{T_1} + \frac{\sin(2\omega_1 t_0)}{\pi}) \cos \varphi + A(t_0, \tilde{\tau}) \left[ (1 - e^{-\frac{2t_0}{\tilde{\tau}}}) \cos(\omega_1 t_0) + \right.}{\left. \left\{ 4 \frac{t_0}{T_1} + \frac{\sin(2\omega_1 t_0)}{\pi} \cos(2\varphi) + B(t_0, \tilde{\tau}) + C(t_0, \tilde{\tau}) e^{-\frac{2t_0}{\tilde{\tau}}} + \right. \right.} \\ \left. \left. + \omega_1 \tilde{\tau} (1 - e^{-\frac{2t_0}{\tilde{\tau}}}) \sin(\omega_1 t_0) \right] \right. \\ \left. \dots \frac{4t_0}{4t_0} \right\}^{1/2} \quad \text{dla układu obciążenia (RL)} \\ \left. + D(t_0, \tilde{\tau}) (1 - e^{-\frac{2t_0}{\tilde{\tau}}}) \right\} \quad \text{w stanie ustalonym} \end{array} \right.$$

przy czym

(33)

$$B(t_0, \tilde{\tau}) = A(t_0, \tilde{\tau}) \left[ \cos(\omega_1 t_0 + \varphi) + \omega_1 \tilde{\tau} \sin(\omega_1 t_0 + \varphi) \right] \left( 1 - e^{-\frac{T_1}{2\tilde{\tau}}} \right)$$

$$C(t_0, \tilde{\tau}) = -A(t_0, \tilde{\tau}) \left[ \cos(\omega_1 t_0 - \varphi) - \omega_1 \tilde{\tau} \sin(\omega_1 t_0 - \varphi) \right] \left( 1 - e^{-\frac{T_1}{2\tilde{\tau}}} \right)$$

$$D(t_0, \tilde{\tau}) = A^2(t_0, \tilde{\tau}) \frac{T_1}{\tilde{\tau}} \left( \frac{1 + \omega_1^2 \tilde{\tau}^2}{4} \right)^2 \left( 1 - e^{-\frac{T_1}{\tilde{\tau}}} \right)$$

gdzie  $t_0 \in (0, \frac{T_1}{4}]$ .

4<sup>o</sup> sterowanie impulsowe z dowolną pulsacją impulsowania

$$\lambda_1 = \left\{ \begin{array}{l} \sqrt{\delta - \frac{\sin(2\pi \frac{T_1}{T_1} \delta)}{2\pi \frac{T_1}{T_1}} \sum_{l=0}^{\frac{T_1}{T_1} - 1} \cos(2\pi \frac{T_1}{T_1} (2l + \delta))} \quad \text{dla układu obciążenia (R)} \\ \delta \cos \varphi - \frac{\sin(2\pi \frac{T_1}{T_1} \delta)}{2\pi \frac{T_1}{T_1}} \sum_{l=0}^{\frac{T_1}{T_1} - 1} \cos(2\pi \frac{T_1}{T_1} (2l + \delta) - \varphi) - \frac{\delta T_1}{T(1 + \omega_1^2 \tilde{\tau}^2)} \sum_{l=0}^{\frac{T_1}{T_1} - 1} M_1 \\ \left\{ \delta - \frac{\sin(2\pi \frac{T_1}{T_1} \delta)}{2\pi \frac{T_1}{T_1}} \sum_{l=0}^{\frac{T_1}{T_1} - 1} \cos(2\pi \frac{T_1}{T_1} (2l + \delta) - \varphi) - \frac{4\tilde{\tau}e^{-\frac{\delta T_1}{\tilde{\tau}}}}{T(1 + \omega_1^2 \tilde{\tau}^2)} \sum_{l=0}^{\frac{T_1}{T_1} - 1} M_1(\delta, T_1, \tilde{\tau}) \right. \end{array} \right.$$

$$\left. \begin{aligned}
 & (\delta, T_1, \tilde{v}) \left[ \sin(2\delta \frac{T_1}{T_1}(1+\delta)) + \omega_1 \tilde{v} \cos(2\delta \frac{T_1}{T_1}(1+\delta)) \right] + \frac{2\tilde{v}}{T(1+\omega_1^2 \tilde{v}^2)} \\
 & \left[ \sin(2\delta \frac{T_1}{T_1}(1+\delta) - \varphi) + \omega_1 \tilde{v} \cos(2\delta \frac{T_1}{T_1}(1+\delta) - \varphi) \right] + \frac{4\tilde{v}}{T(1+\omega_1^2 \tilde{v}^2)} \sum_{l=0}^{\frac{T}{T_1} - 1} M_1 \\
 & \sum_{l=0}^{\frac{T}{T_1} - 1} M_1(\delta, T_1, \tilde{v}) \left[ \sin(2\delta \frac{T_1}{T_1} l) + \omega_1 \tilde{v} \cos(2\delta \frac{T_1}{T_1} l) \right] \\
 & (\delta, T_1, \tilde{v}) \left[ \sin(2\delta \frac{T_1}{T_1} l - \varphi) + \omega_1 \tilde{v} \cos(2\delta \frac{T_1}{T_1} l - \varphi) \right] + \frac{\tilde{v}}{T} \left( 1 - e^{-\frac{2\delta T_1}{T}} \sum_{l=0}^{\frac{T}{T_1} - 1} M_1^2(\delta, T_1, \tilde{v}) \right) \left. \right\} \frac{1}{2}
 \end{aligned}$$

gdzie  $\delta \in (0, 1]$ .

(34)

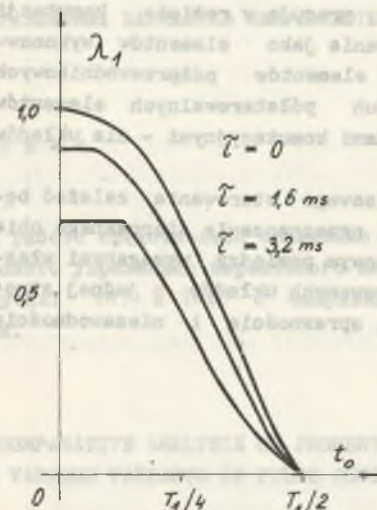
Z porównania przebiegów współczynnika mocy w punkcie zasilania układów: (R) i (RL) dla ustalonych wartości amplitudy podstawowej harmonicznej napięcia wyjściowego wynika, że najniższe wartości osiąga on dla sterowania fazowo-impulsowego (wariant 1<sup>o</sup>). Dla wariantów sterowania: 2<sup>o</sup>, 3<sup>o</sup> oraz 4<sup>o</sup> (dla  $\omega_1 \notin \left\{ \frac{2\omega_1}{n}, n \in \mathbb{N} \right\}$ ) współczynnik mocy w punkcie zasilania układów osiąga podobne wartości.

## 5. ZAKOŃCZENIE

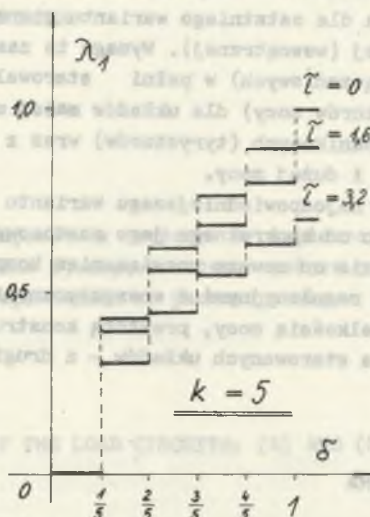
Z przeprowadzonej w pracy analizy porównawczej własności regulacyjnych i energetycznych układów: (R) i (RL) prądu przemiennego dla 4 wariantów sterowania: 1<sup>o</sup> - sterowania fazowo-impulsowego, 2<sup>o</sup> - sterowanie impulsowego całokresowego, 3<sup>o</sup> - sterowania impulsowego symetrycznego oraz 4<sup>o</sup> - sterowania impulsowego z dowolną pulsacją impulsowania względem pulsacji napięcia zasilania wynika, iż stosunkowo najmniej korzystnym (w sensie powyższych własności) jest sterowanie fazowo-impulsowe (wariant 1<sup>o</sup> sterowania), najkorzystniejszym zaś - 4<sup>o</sup> wariant sterowania przy właściwie dobranej pulsacji impulsowania  $\omega_1$  względem pulsacji napięcia zasilającego  $\omega_1$  [8, 9].

Z drugiej strony - układy ze sterowaniem fazowym pracują w reżimie komutacji naturalnej (sieciowej), stąd ich prostota konstrukcji, wysoka sprawność (powyżej 95%) i niezawodność działania. Sterowanie całokresowe posiada stosunkowo korzystne własności energetyczne, wymaga jednak bardzo dokładnej synchronizacji względem prądu obciążenia, jest sterowaniem stopniowym

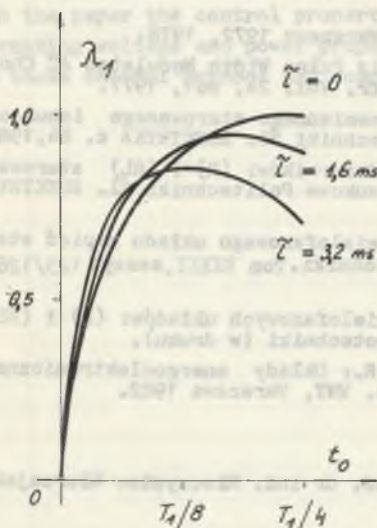
1° sterowanie fazowo-impulsowe



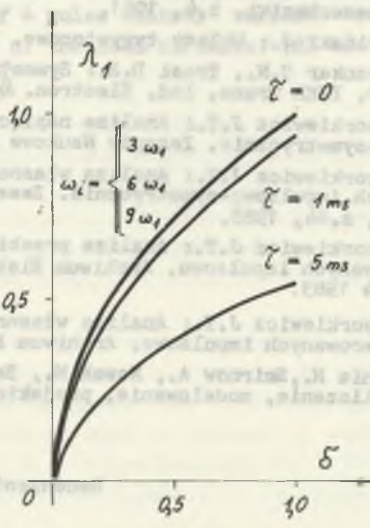
2° sterowanie impulsowe całok okresowe



3° sterowanie impulsowe symetryczne



4° sterowanie impulsowe z dowolną pulsacją impulsowania



Rys. 5. Przebiegi współczynnika mocy w punkcie zasilania układów:(R) i (RL) dla różnych wariantów sterowania impulsowego

i może być stosowane wyłącznie dla obiektów o dużych własnych stałych czasowych. Wreszcie układy: o sterowaniu symetrycznym oraz z dowolną pulsacją impulsowania mimo korzystnych własności regulacyjnych i energetycznych, zwłaszcza dla ostatniego wariantu sterowania, pracują w reżimie komutacji wymuszonej (wewnętrznej). Wymaga to zastosowania jako elementów wykonawczych (łączeniowych) w pełni sterowalnych elementów półprzewodnikowych ( tranzystorów mocy) dla układów małej mocy lub półsterowalnych elementów półprzewodnikowych (tyrystorów) wraz z obwodami komutacyjnymi - dla układów średniej i dużej mocy.

Wybór najodpowiedniejszego wariantu impulsowego sterowania zależy będzie więc od konkretnego jego zastosowania i przeznaczenia sterowanego obiektu. Będzie on zawsze rozwiązaniem kompromisowym pomiędzy wymaganymi własnościami regulacyjnymi i energetycznymi sterowanych układów z jednej strony, a wielkością mocy, prostotą konstrukcji, sprawnością i niezawodnością działania sterowanych układów - z drugiej.

#### LITERATURA

- [1] Kuczewski Z. (red.): Energoelektronika. Wydawnictwa Politechniki Śląskiej, Gliwice 1974, 1977.
- [2] Luciński J.: O pewnym przypadku impulsowego sterowania. Archiwum Automatyki i Telemekhaniki, z.3. 1963.
- [3] Luciński J.: O właściwościach sterownika tyratronowego w układzie odwrotnie-równoległym przy obciążeniu indukcyjnym. Archiwum Automatyki i Telemekhaniki, z.4, 1961.
- [4] Luciński J.: Układy tyrystorowe. WNT, Warszawa 1972, 1978.
- [5] Revankar G.N., Trasi D.S.: Symmetrically Pulse Width Modulated AC Chopper. IEEE Trans. Ind. Electron. & Constr. Vol. 24, No1, 1977.
- [6] Toporkiewicz J.T.: Analiza napięcia przemiennego sterowanego impulsowo-symetrycznie. Zeszyty Naukowe Politechniki Śl. ELEKTRYKA z. 84, 1983
- [7] Toporkiewicz J.T.: Analiza własności odbiorników: (R) i (RL) sterowanych impulsowo-symetrycznie. Zeszyty Naukowe Politechniki Śl. ELEKTRYKA, z.84, 1983.
- [8] Toporkiewicz J.T.: Analiza przebiegów wielofazowego układu napięć sterowanych impulsowo. Archiwum Elektrotechniki. Tom XXXII, zeszyt 125/126-3/4 1983.
- [9] Toporkiewicz J.T.: Analiza własności wielofazowych układów: (R) i (RL) sterowanych impulsowo. Archiwum Elektrotechniki (w druku).
- [10] Tunia H., Smirnow A., Nowak M., Barlik R.: Układy energoelektroniczne. Obliczanie, modelowanie, projektowanie. WNT, Warszawa 1982.

Recenzent: prof. dr inż. Mieczysław Wierzejski

Wpłynęło do redakcji dn. 25 kwietnia 1984 r.



СРАВНИТЕЛЬНЫЙ АНАЛИЗ СВОЙСТВ СИСТЕМ НАГРУЗКИ: (R) И (RL)  
ДЛЯ РАЗЛИЧНЫХ ВАРИАНТОВ ИМПУЛЬСНОГО УПРАВЛЕНИЯ

Резюме

В работе представлено сравнение регулировочных свойств 4 вариантов импульсного управления переменного напряжения и энергетических свойств систем нагрузки: (R) и (RL) с импульсным управлением по рассматриваемым методам.

THE COMPARATIVE ANALYSIS OF PROPERTIES OF THE LOAD CIRCUITS: (R) AND (RL)  
WITH VARIOUS VARIANTS OF PULSE CONTROL

Summary

In the paper the control properties of 4 pulse control variants of the alternating voltage and power properties of the load circuits: (R) and (RL) with these control methods are compared.